

Eingabe: Farbmétrisches Fernseh-Licht-System TLS18

für Buntton $h^* = lab^*h = 35/360 = 0.097$ lab^*tch und lab^*nch

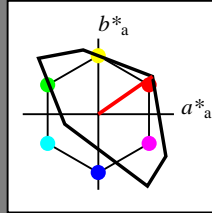
D65: Buntton O

LCH*Ma: 53 87 35

olv*Ma: 1.0 0.0 0.0

TLS18; adaptierte CIELAB-Daten

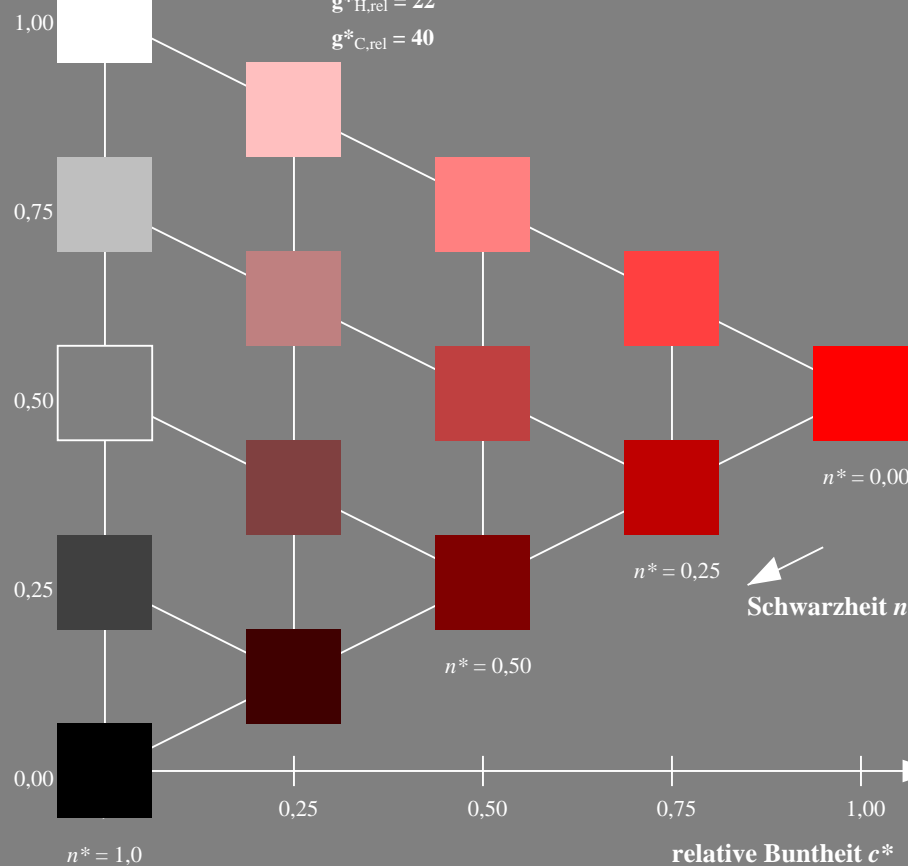
	$L^*=L^*_a$	a^*_a	b^*_a	$C^*_{ab,a}$	$h^*_{ab,a}$
O _m	52.76	71.63	49.88	87.29	35
Y _m	92.74	-20.02	84.97	87.3	103
L _m	84.0	-78.98	73.94	108.2	137
C _m	87.14	-44.41	-13.11	46.32	196
V _m	35.47	64.92	-95.06	115.12	304
M _m	59.01	89.33	-55.67	105.26	328
N _m	18.01	0.0	0.0	0.0	0
W _m	95.41	0.0	0.0	0.0	0
R _{CIE}	39.92	58.74	27.99	65.07	25
J _{CIE}	81.26	-2.88	71.56	71.62	92
G _{CIE}	52.23	-42.41	13.6	44.55	162
B _{CIE}	30.57	1.41	-46.46	46.49	272

Dreiecks-Helligkeit t^*

%Umfang

 $u^*_{rel} = 118$

%Regularität

 $g^*_{H,rel} = 22$ $g^*_{C,rel} = 40$ 

NG290-7, 5 stufige Reihen für konstanten CIELAB Buntton 35/360 = 0.097 (links)

BAM-Prüfvorlage NG29; Farbmétrik-Systeme ORS18 & ORS18input: olv* setrgbcolor

D65: Koordinatensysteme; 5stufige Farbreihen für 10 Bunttöne output: Startup (S) data dependend

Ausgabe: Farbmétrisches Fernseh-Licht-System TLS18

für Buntton $h^* = lab^*h = 35/360 = 0.097$ LAB^*LCH, LAB^*NCH

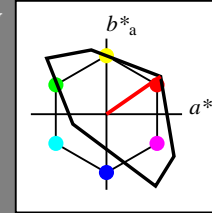
D65: Buntton O

LCH*Ma: 53 87 35

olv*Ma: 1.0 0.0 0.0

TLS18; adaptierte CIELAB-Daten

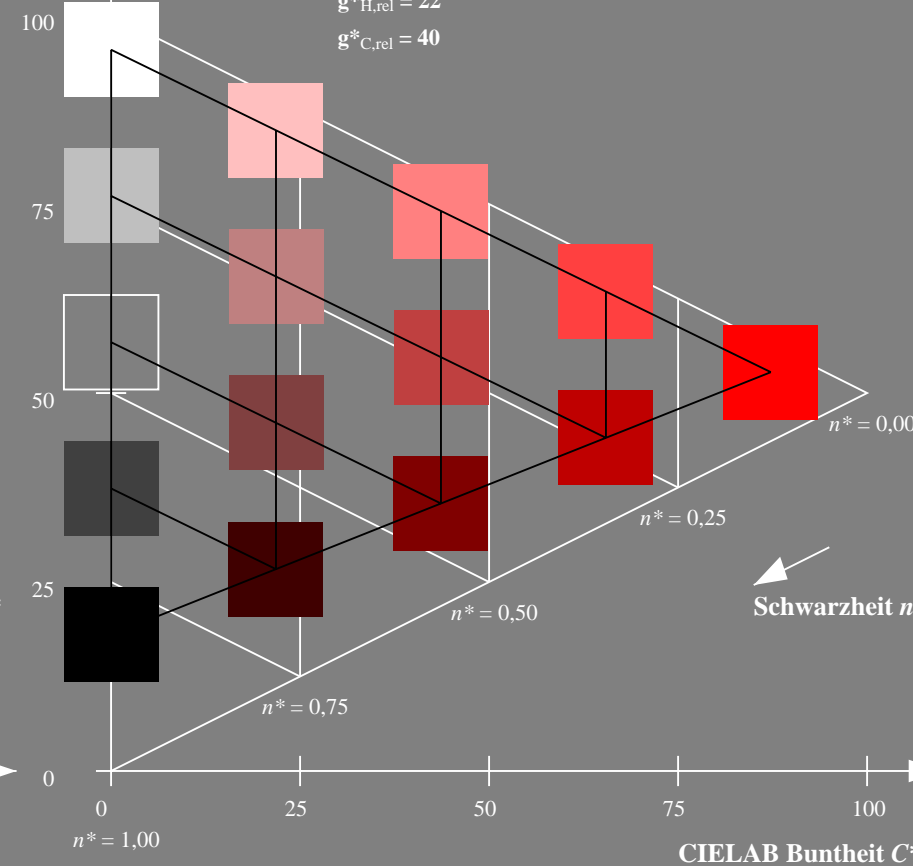
	$L^*=L^*_a$	a^*_a	b^*_a	$C^*_{ab,a}$	$h^*_{ab,a}$
O _m	52.76	71.63	49.88	87.29	35
Y _m	92.74	-20.02	84.97	87.3	103
L _m	84.0	-78.98	73.94	108.2	137
C _m	87.14	-44.41	-13.11	46.32	196
V _m	35.47	64.92	-95.06	115.12	304
M _m	59.01	89.33	-55.67	105.26	328
N _m	18.01	0.0	0.0	0.0	0
W _m	95.41	0.0	0.0	0.0	0
R _{CIE}	39.92	58.74	27.99	65.07	25
J _{CIE}	81.26	-2.88	71.56	71.62	92
G _{CIE}	52.23	-42.41	13.6	44.55	162
B _{CIE}	30.57	1.41	-46.46	46.49	272

CIELAB-Helligkeit L^*

%Umfang

 $u^*_{rel} = 118$

%Regularität

 $g^*_{H,rel} = 22$ $g^*_{C,rel} = 40$ 

5 stufige Reihen für konstanten CIELAB Buntton 35/360 = 0.097 (rechts)

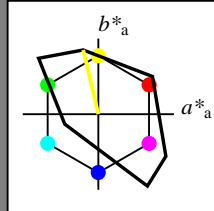
Eingabe: Farbmétrisches Fernseh-Licht-System TLS18

für Buntton $h^* = lab^*h = 103/360 = 0.287$ lab^*tch und lab^*nch

D65: Buntton Y

LCH*Ma: 93 87 103

olv*Ma: 1.0 1.0 0.0



TLS18; adaptierte CIELAB-Daten

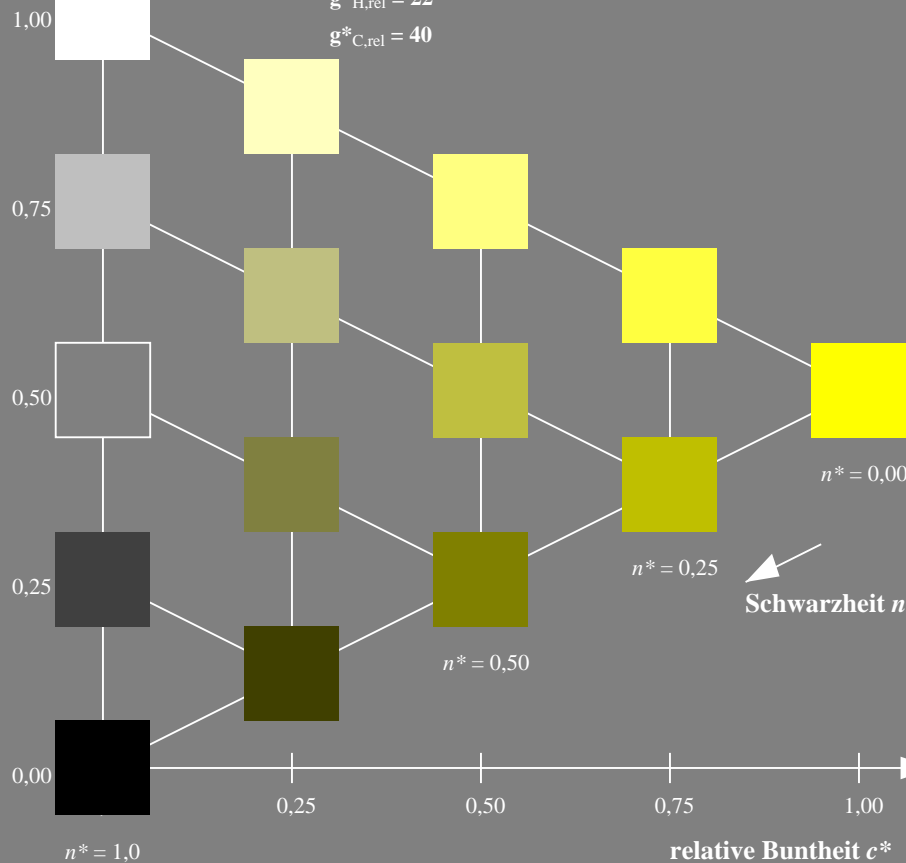
	$L^*=L^*_a$	a^*_a	b^*_a	$C^*_{ab,a}$	$h^*_{ab,a}$
O _m	52.76	71.63	49.88	87.29	35
Y _m	92.74	-20.02	84.97	87.3	103
L _m	84.0	-78.98	73.94	108.2	137
C _m	87.14	-44.41	-13.11	46.32	196
V _m	35.47	64.92	-95.06	115.12	304
M _m	59.01	89.33	-55.67	105.26	328
N _m	18.01	0.0	0.0	0.0	0
W _m	95.41	0.0	0.0	0.0	0
R _{CIE}	39.92	58.74	27.99	65.07	25
J _{CIE}	81.26	-2.88	71.56	71.62	92
G _{CIE}	52.23	-42.41	13.6	44.55	162
B _{CIE}	30.57	1.41	-46.46	46.49	272

Dreiecks-Helligkeit t^*

%Umfang

 $u^*_{rel} = 118$

%Regularität

 $g^*_{H,rel} = 22$ $g^*_{C,rel} = 40$ 

NG290-7, 5 stufige Reihen für konstanten CIELAB Buntton 103/360 = 0.287 (links)

BAM-Prüfvorlage NG29; Farbmétrik-Systeme ORS18 & ORS18input: olv* setrgbcolor

D65: Koordinatensysteme; 5stufige Farbreihen für 10 Bunttöne output: Startup (S) data dependend

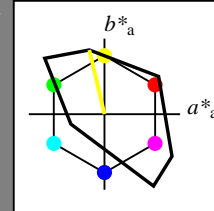
Ausgabe: Farbmétrisches Fernseh-Licht-System TLS18

für Buntton $h^* = lab^*h = 103/360 = 0.287$ LAB^*LCH, LAB^*NCH

D65: Buntton Y

LCH*Ma: 93 87 103

olv*Ma: 1.0 1.0 0.0



TLS18; adaptierte CIELAB-Daten

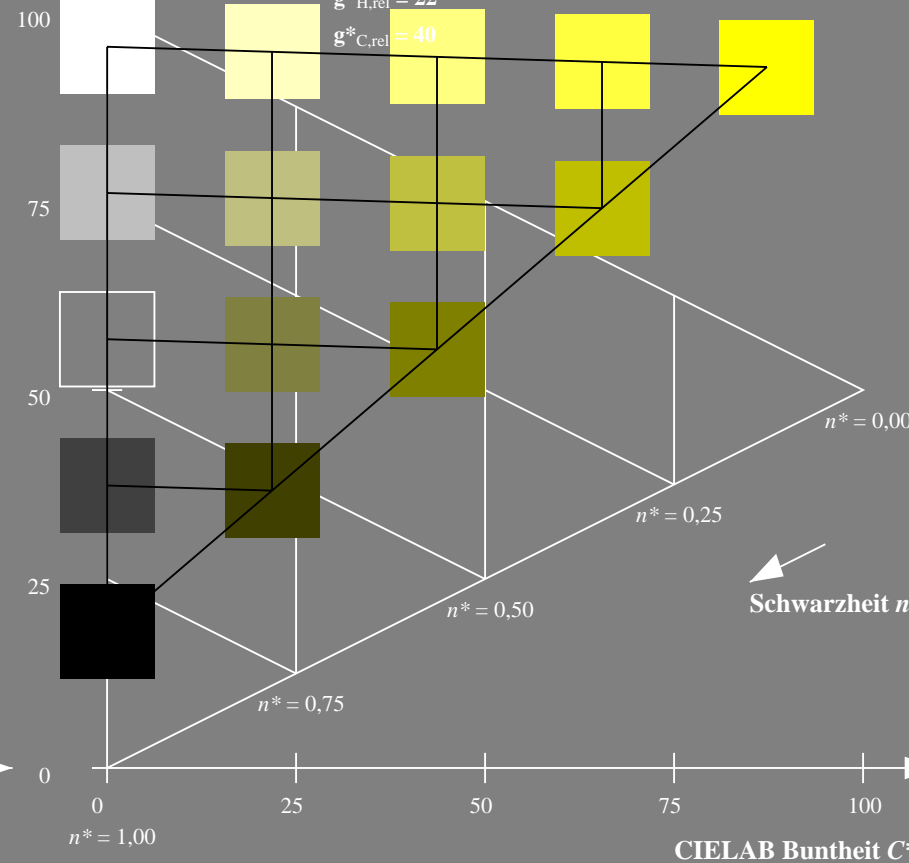
	$L^*=L^*_a$	a^*_a	b^*_a	$C^*_{ab,a}$	$h^*_{ab,a}$
O _m	52.76	71.63	49.88	87.29	35
Y _m	92.74	-20.02	84.97	87.3	103
L _m	84.0	-78.98	73.94	108.2	137
C _m	87.14	-44.41	-13.11	46.32	196
V _m	35.47	64.92	-95.06	115.12	304
M _m	59.01	89.33	-55.67	105.26	328
N _m	18.01	0.0	0.0	0.0	0
W _m	95.41	0.0	0.0	0.0	0
R _{CIE}	39.92	58.74	27.99	65.07	25
J _{CIE}	81.26	-2.88	71.56	71.62	92
G _{CIE}	52.23	-42.41	13.6	44.55	162
B _{CIE}	30.57	1.41	-46.46	46.49	272

CIELAB-Helligkeit L^*

%Umfang

 $u^*_{rel} = 118$

%Regularität

 $g^*_{H,rel} = 22$ $g^*_{C,rel} = 40$ 

5 stufige Reihen für konstanten CIELAB Buntton 103/360 = 0.287 (rechts)

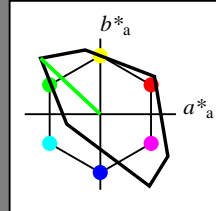
Eingabe: Farbmétrisches Fernseh-Licht-System TLS18

für Buntton $h^* = lab \cdot h = 137/360 = 0.38$ $lab \cdot tch$ und $lab \cdot nch$

D65: Buntton L

LCH*Ma: 84 108 137

olv*Ma: 0.0 1.0 0.0



TLS18; adaptierte CIELAB-Daten

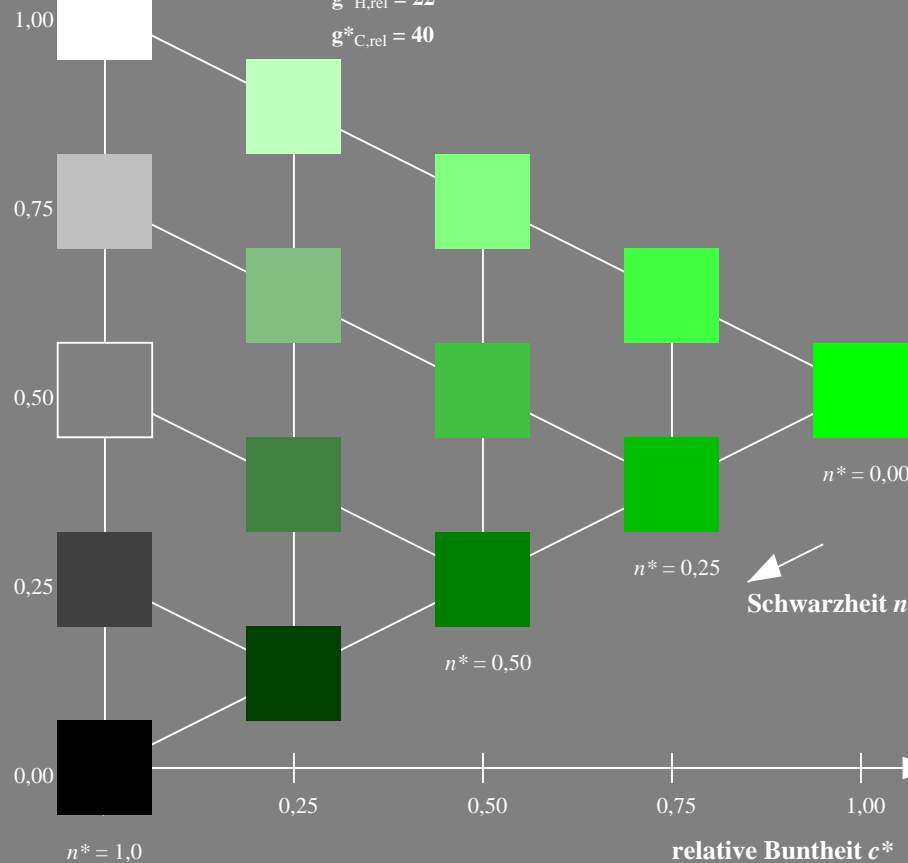
	$L^*=L^*_a$	a^*_a	b^*_a	$C^*_{ab,a}$	$h^*_{ab,a}$
O _m	52.76	71.63	49.88	87.29	35
Y _m	92.74	-20.02	84.97	87.3	103
L _m	84.0	-78.98	73.94	108.2	137
C _m	87.14	-44.41	-13.11	46.32	196
V _m	35.47	64.92	-95.06	115.12	304
M _m	59.01	89.33	-55.67	105.26	328
N _m	18.01	0.0	0.0	0.0	0
W _m	95.41	0.0	0.0	0.0	0
R _{CIE}	39.92	58.74	27.99	65.07	25
J _{CIE}	81.26	-2.88	71.56	71.62	92
G _{CIE}	52.23	-42.41	13.6	44.55	162
B _{CIE}	30.57	1.41	-46.46	46.49	272

Dreiecks-Helligkeit t^*

%Umfang

 $u^*_{rel} = 118$

%Regularität

 $g^*_{H,rel} = 22$ $g^*_{C,rel} = 40$ 

NG290-7, 5 stufige Reihen für konstanten CIELAB Buntton 137/360 = 0.38 (links)

BAM-Prüfvorlage NG29; Farbmétrik-Systeme ORS18 & ORS18input: olv* setrgbcolor

D65: Koordinatensysteme; 5stufige Farbreihen für 10 Bunttöne output: Startup (S) data dependend

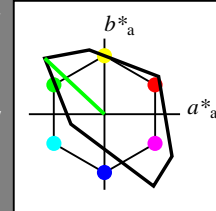
Ausgabe: Farbmétrisches Fernseh-Licht-System TLS18

für Buntton $h^* = lab \cdot h = 137/360 = 0.38$ $LAB \cdot LCH$, $LAB \cdot NCH$

D65: Buntton L

LCH*Ma: 84 108 137

olv*Ma: 0.0 1.0 0.0



TLS18; adaptierte CIELAB-Daten

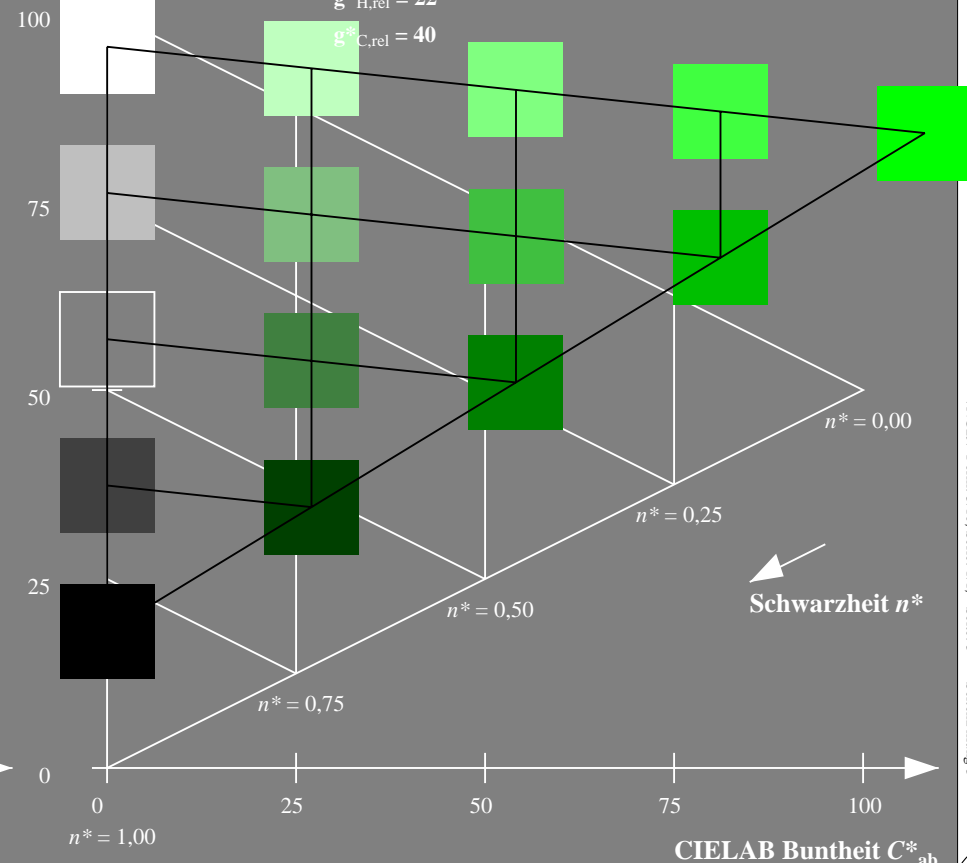
	$L^*=L^*_a$	a^*_a	b^*_a	$C^*_{ab,a}$	$h^*_{ab,a}$
O _m	52.76	71.63	49.88	87.29	35
Y _m	92.74	-20.02	84.97	87.3	103
L _m	84.0	-78.98	73.94	108.2	137
C _m	87.14	-44.41	-13.11	46.32	196
V _m	35.47	64.92	-95.06	115.12	304
M _m	59.01	89.33	-55.67	105.26	328
N _m	18.01	0.0	0.0	0.0	0
W _m	95.41	0.0	0.0	0.0	0
R _{CIE}	39.92	58.74	27.99	65.07	25
J _{CIE}	81.26	-2.88	71.56	71.62	92
G _{CIE}	52.23	-42.41	13.6	44.55	162
B _{CIE}	30.57	1.41	-46.46	46.49	272

CIELAB-Helligkeit L^*

%Umfang

 $u^*_{rel} = 118$

%Regularität

 $g^*_{H,rel} = 22$ $g^*_{C,rel} = 40$ 

5 stufige Reihen für konstanten CIELAB Buntton 137/360 = 0.38 (rechts)

Eingabe: Farbmétrisches Fernseh-Licht-System TLS18

für Buntton $h^* = lab^*h = 196/360 = 0.546$ lab^*tch und lab^*nch

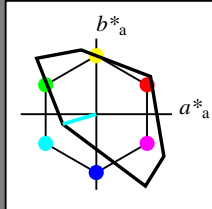
D65: Buntton C

LCH*Ma: 87 46 196

olv*Ma: 0.0 1.0 1.0

TLS18; adaptierte CIELAB-Daten

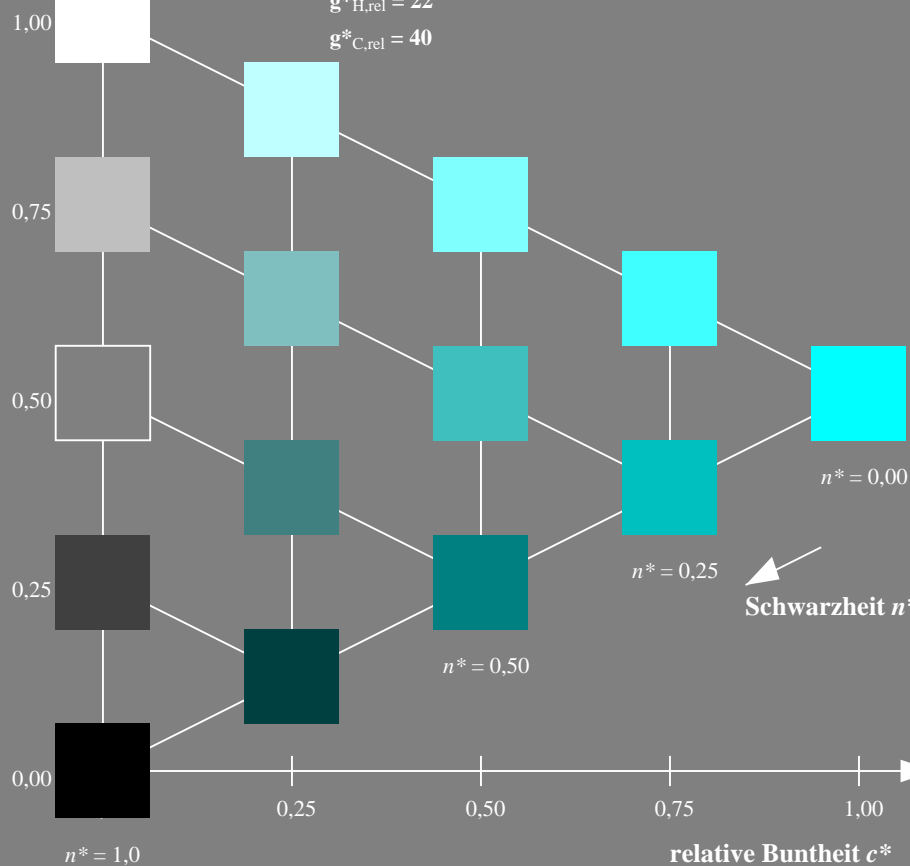
	$L^*=L^*_a$	a^*_a	b^*_a	$C^*_{ab,a}$	$h^*_{ab,a}$
O _m	52.76	71.63	49.88	87.29	35
Y _m	92.74	-20.02	84.97	87.3	103
L _m	84.0	-78.98	73.94	108.2	137
C _m	87.14	-44.41	-13.11	46.32	196
V _m	35.47	64.92	-95.06	115.12	304
M _m	59.01	89.33	-55.67	105.26	328
N _m	18.01	0.0	0.0	0.0	0
W _m	95.41	0.0	0.0	0.0	0
R _{CIE}	39.92	58.74	27.99	65.07	25
J _{CIE}	81.26	-2.88	71.56	71.62	92
G _{CIE}	52.23	-42.41	13.6	44.55	162
B _{CIE}	30.57	1.41	-46.46	46.49	272

Dreiecks-Helligkeit t^*

%Umfang

 $u^*_{rel} = 118$

%Regularität

 $g^*_{H,rel} = 22$ $g^*_{C,rel} = 40$ 

NG290-7, 5 stufige Reihen für konstanten CIELAB Buntton 196/360 = 0.546 (links)

BAM-Prüfvorlage NG29; Farbmétrik-Systeme ORS18 & ORS18input: olv* setrgbcolor

D65: Koordinatensysteme; 5stufige Farbreihen für 10 Bunttöne output: Startup (S) data dependend

Ausgabe: Farbmétrisches Fernseh-Licht-System TLS18

für Buntton $h^* = lab^*h = 196/360 = 0.546$ LAB^*LCH, LAB^*NCH

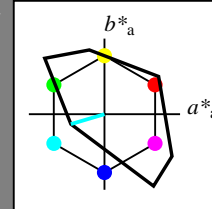
D65: Buntton C

LCH*Ma: 87 46 196

olv*Ma: 0.0 1.0 1.0

TLS18; adaptierte CIELAB-Daten

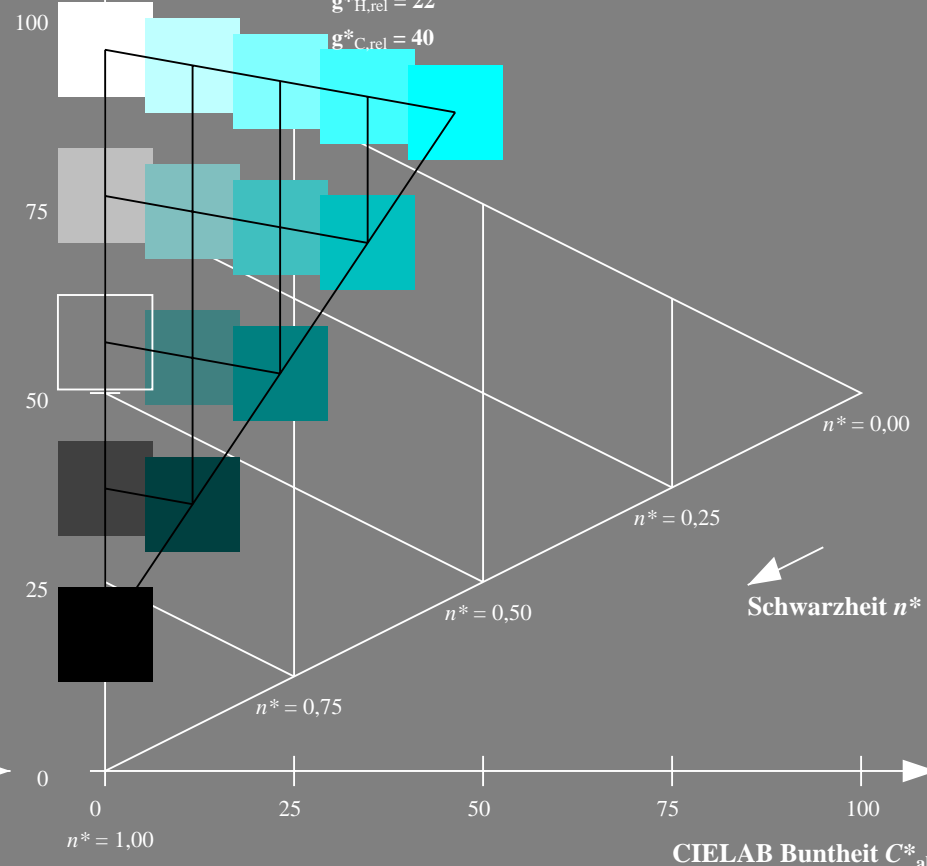
	$L^*=L^*_a$	a^*_a	b^*_a	$C^*_{ab,a}$	$h^*_{ab,a}$
O _m	52.76	71.63	49.88	87.29	35
Y _m	92.74	-20.02	84.97	87.3	103
L _m	84.0	-78.98	73.94	108.2	137
C _m	87.14	-44.41	-13.11	46.32	196
V _m	35.47	64.92	-95.06	115.12	304
M _m	59.01	89.33	-55.67	105.26	328
N _m	18.01	0.0	0.0	0.0	0
W _m	95.41	0.0	0.0	0.0	0
R _{CIE}	39.92	58.74	27.99	65.07	25
J _{CIE}	81.26	-2.88	71.56	71.62	92
G _{CIE}	52.23	-42.41	13.6	44.55	162
B _{CIE}	30.57	1.41	-46.46	46.49	272

CIELAB-Helligkeit L^*

%Umfang

 $u^*_{rel} = 118$

%Regularität

 $g^*_{H,rel} = 22$ $g^*_{C,rel} = 40$ 

5 stufige Reihen für konstanten CIELAB Buntton 196/360 = 0.546 (rechts)

Eingabe: Farbmétrisches Fernseh-Licht-System TLS18

für Buntton $h^* = lab \cdot h = 304/360 = 0.845$ $lab \cdot tch$ und $lab \cdot nch$

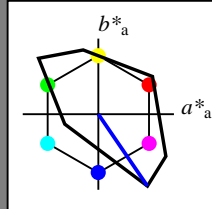
D65: Buntton V

LCH*Ma: 35 115 304

olv*Ma: 0.0 0.0 1.0

TLS18; adaptierte CIELAB-Daten

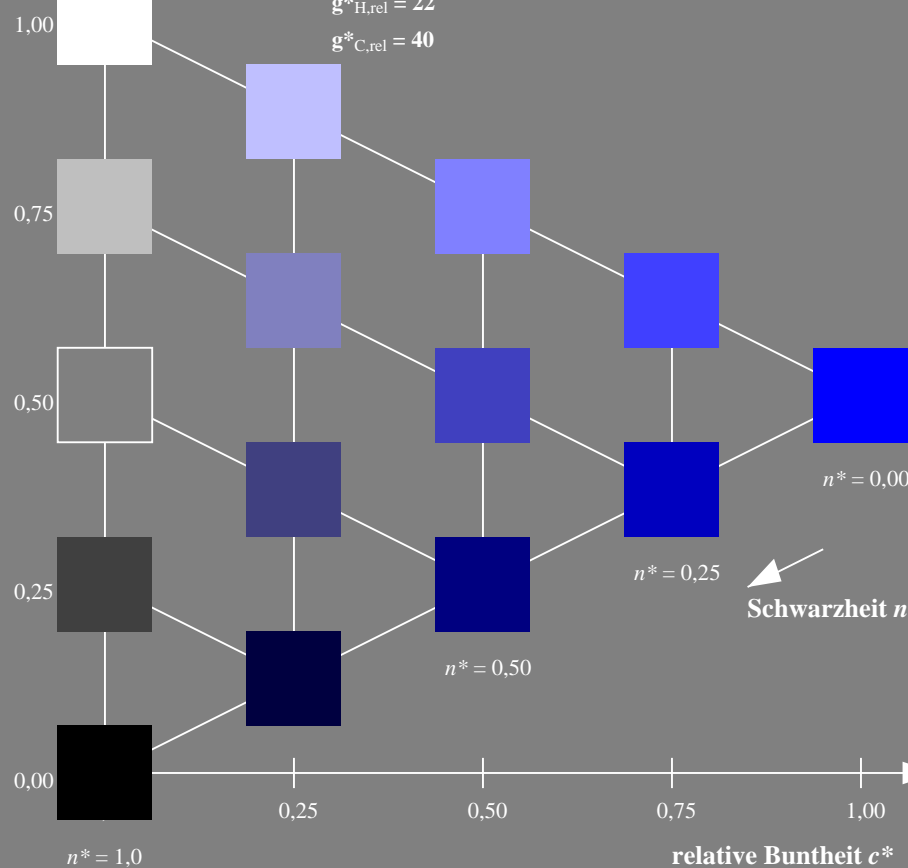
	$L^* = L^*_a$	a^*_a	b^*_a	$C^*_{ab,a}$	$h^*_{ab,a}$
O _m	52.76	71.63	49.88	87.29	35
Y _m	92.74	-20.02	84.97	87.3	103
L _m	84.0	-78.98	73.94	108.2	137
C _m	87.14	-44.41	-13.11	46.32	196
V _m	35.47	64.92	-95.06	115.12	304
M _m	59.01	89.33	-55.67	105.26	328
N _m	18.01	0.0	0.0	0.0	0
W _m	95.41	0.0	0.0	0.0	0
R _{CIE}	39.92	58.74	27.99	65.07	25
J _{CIE}	81.26	-2.88	71.56	71.62	92
G _{CIE}	52.23	-42.41	13.6	44.55	162
B _{CIE}	30.57	1.41	-46.46	46.49	272

Dreiecks-Helligkeit t^*

%Umfang

 $u^*_{rel} = 118$

%Regularität

 $g^*_{H,rel} = 22$ $g^*_{C,rel} = 40$ 

NG290-7, 5 stufige Reihen für konstanten CIELAB Buntton 304/360 = 0.845 (links)

Ausgabe: Farbmétrisches Fernseh-Licht-System TLS18

für Buntton $h^* = lab \cdot h = 304/360 = 0.845$ $LAB \cdot LCH$, $LAB \cdot NCH$

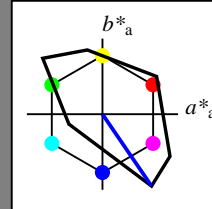
D65: Buntton V

LCH*Ma: 35 115 304

olv*Ma: 0.0 0.0 1.0

TLS18; adaptierte CIELAB-Daten

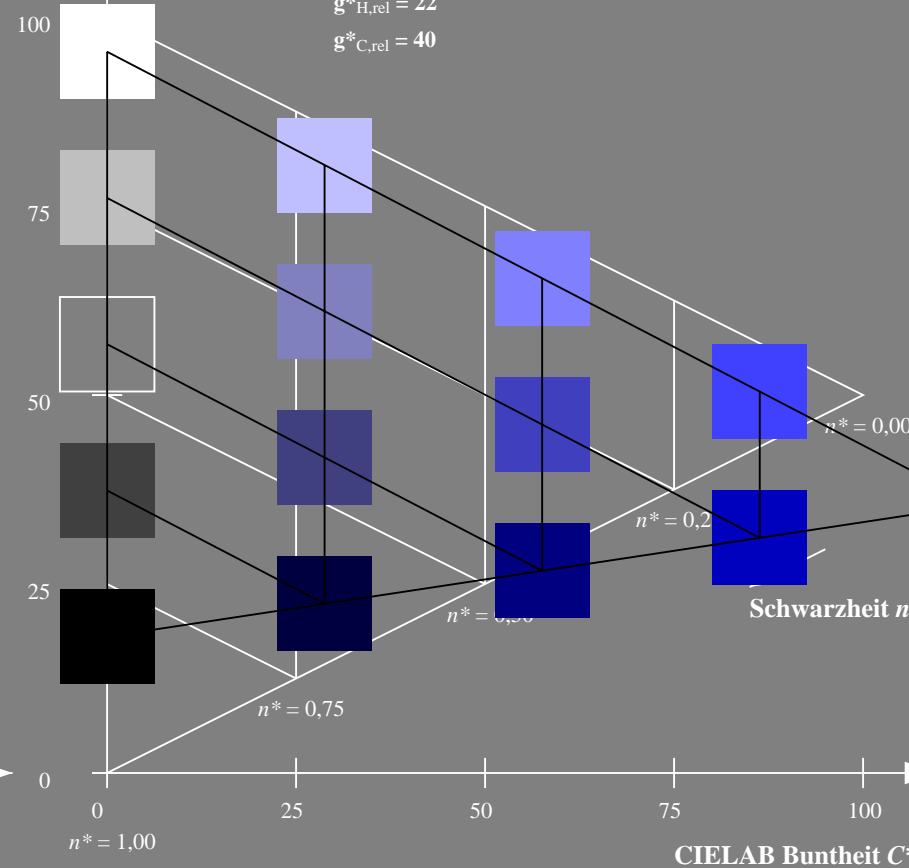
	$L^* = L^*_a$	a^*_a	b^*_a	$C^*_{ab,a}$	$h^*_{ab,a}$
O _m	52.76	71.63	49.88	87.29	35
Y _m	92.74	-20.02	84.97	87.3	103
L _m	84.0	-78.98	73.94	108.2	137
C _m	87.14	-44.41	-13.11	46.32	196
V _m	35.47	64.92	-95.06	115.12	304
M _m	59.01	89.33	-55.67	105.26	328
N _m	18.01	0.0	0.0	0.0	0
W _m	95.41	0.0	0.0	0.0	0
R _{CIE}	39.92	58.74	27.99	65.07	25
J _{CIE}	81.26	-2.88	71.56	71.62	92
G _{CIE}	52.23	-42.41	13.6	44.55	162
B _{CIE}	30.57	1.41	-46.46	46.49	272

CIELAB-Helligkeit L^*

%Umfang

 $u^*_{rel} = 118$

%Regularität

 $g^*_{H,rel} = 22$ $g^*_{C,rel} = 40$ 

5 stufige Reihen für konstanten CIELAB Buntton 304/360 = 0.845 (rechts)

BAM-Prüfvorlage NG29; Farbmétrik-Systeme ORS18 & ORS18input: olv* setrgbcolor

D65: Koordinatensysteme; 5stufige Farbreihen für 10 Bunttöne output: Startup (S) data dependend

Eingabe: Farbmétrisches Fernseh-Licht-System TLS18

für Buntton $h^* = lab \cdot h = 328/360 = 0.911$ $lab \cdot tch$ und $lab \cdot nch$

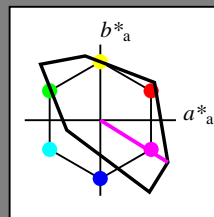
D65: Buntton M

LCH*Ma: 59 105 328

olv*Ma: 1.0 0.0 1.0

TLS18; adaptierte CIELAB-Daten

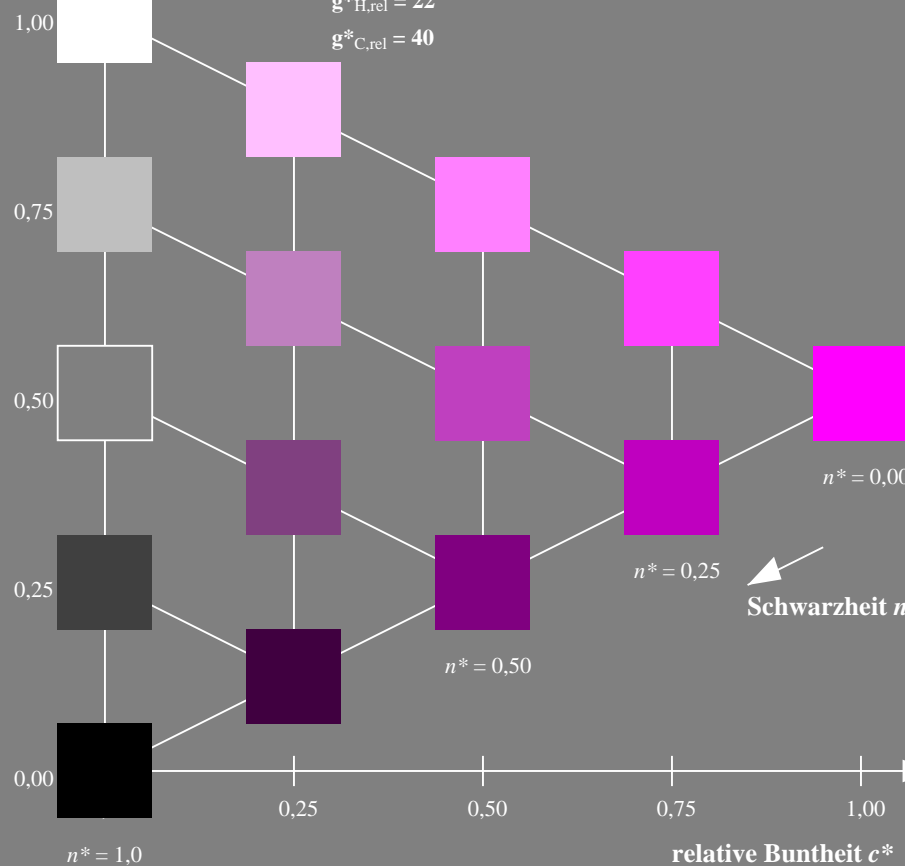
	$L^*=L^*_a$	a^*_a	b^*_a	$C^*_{ab,a}$	$h^*_{ab,a}$
O _m	52.76	71.63	49.88	87.29	35
Y _m	92.74	-20.02	84.97	87.3	103
L _m	84.0	-78.98	73.94	108.2	137
C _m	87.14	-44.41	-13.11	46.32	196
V _m	35.47	64.92	-95.06	115.12	304
M _m	59.01	89.33	-55.67	105.26	328
N _m	18.01	0.0	0.0	0.0	0
W _m	95.41	0.0	0.0	0.0	0
R _{CIE}	39.92	58.74	27.99	65.07	25
J _{CIE}	81.26	-2.88	71.56	71.62	92
G _{CIE}	52.23	-42.41	13.6	44.55	162
B _{CIE}	30.57	1.41	-46.46	46.49	272

Dreiecks-Helligkeit t^*

%Umfang

 $u^*_{rel} = 118$

%Regularität

 $g^*_{H,rel} = 22$ $g^*_{C,rel} = 40$ 

NG290-7, 5 stufige Reihen für konstanten CIELAB Buntton 328/360 = 0.911 (links)

BAM-Prüfvorlage NG29; Farbmétrik-Systeme ORS18 & ORS18input: olv* setrgbcolor

D65: Koordinatensysteme; 5stufige Farbreihen für 10 Bunttöne output: Startup (S) data dependend

Ausgabe: Farbmétrisches Fernseh-Licht-System TLS18

für Buntton $h^* = lab \cdot h = 328/360 = 0.911$ $LAB \cdot LCH$, $LAB \cdot NCH$

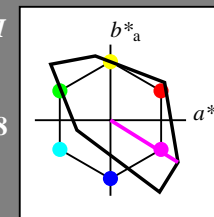
D65: Buntton M

LCH*Ma: 59 105 328

olv*Ma: 1.0 0.0 1.0

TLS18; adaptierte CIELAB-Daten

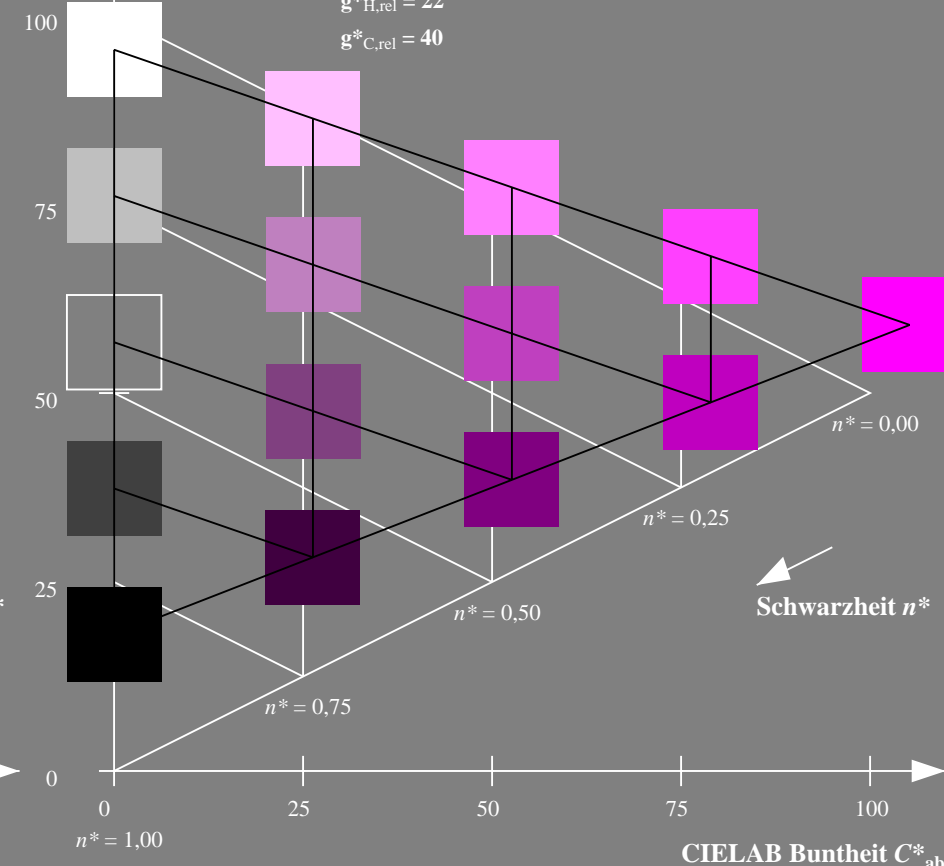
	$L^*=L^*_a$	a^*_a	b^*_a	$C^*_{ab,a}$	$h^*_{ab,a}$
O _m	52.76	71.63	49.88	87.29	35
Y _m	92.74	-20.02	84.97	87.3	103
L _m	84.0	-78.98	73.94	108.2	137
C _m	87.14	-44.41	-13.11	46.32	196
V _m	35.47	64.92	-95.06	115.12	304
M _m	59.01	89.33	-55.67	105.26	328
N _m	18.01	0.0	0.0	0.0	0
W _m	95.41	0.0	0.0	0.0	0
R _{CIE}	39.92	58.74	27.99	65.07	25
J _{CIE}	81.26	-2.88	71.56	71.62	92
G _{CIE}	52.23	-42.41	13.6	44.55	162
B _{CIE}	30.57	1.41	-46.46	46.49	272

CIELAB-Helligkeit L^*

%Umfang

 $u^*_{rel} = 118$

%Regularität

 $g^*_{H,rel} = 22$ $g^*_{C,rel} = 40$ 

5 stufige Reihen für konstanten CIELAB Buntton 328/360 = 0.911 (rechts)

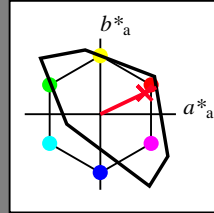
Eingabe: Farbmétrisches Fernseh-Licht-System TLS18

für Buntton $h^* = lab^*h = 25/360 = 0.071$ lab^*tch und lab^*nch

D65: Buntton R

LCH*Ma: 54 82 25

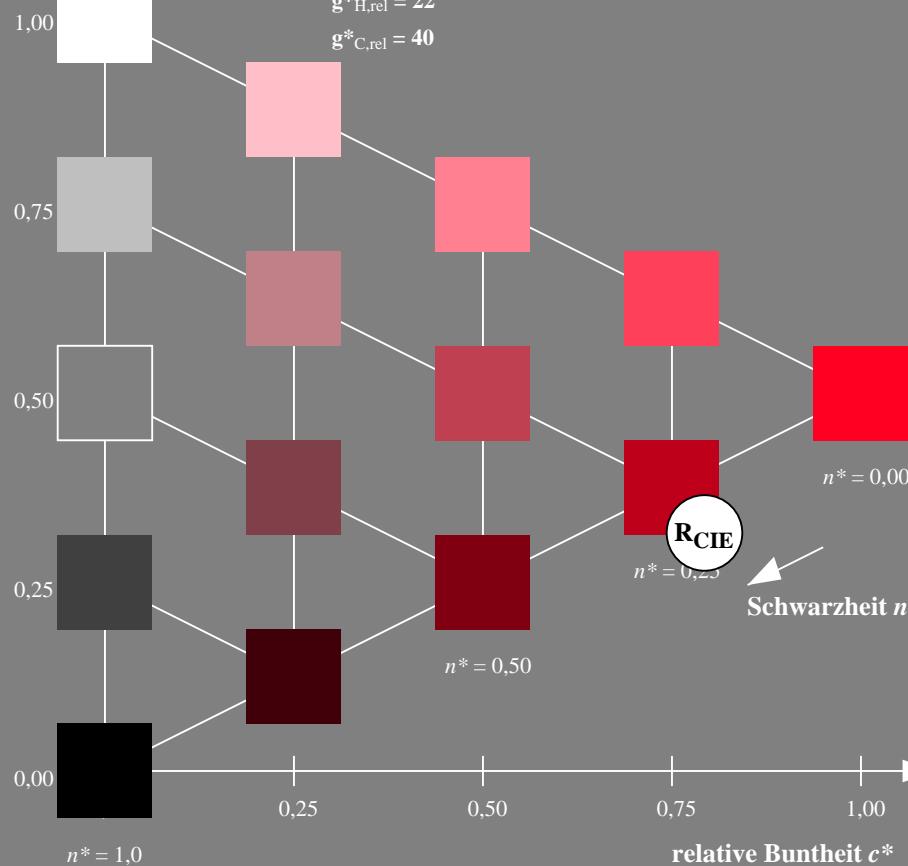
olv*Ma: 1.0 0.0 0.14

Dreiecks-Helligkeit t^*

%Umfang

 $u^*_{rel} = 118$

%Regularität

 $g^*_{H,rel} = 22$ $g^*_{C,rel} = 40$ 

NG290-7, 5 stufige Reihen für konstanten CIELAB Buntton 25/360 = 0.071 (links)

BAM-Prüfvorlage NG29; Farbmétrik-Systeme ORS18 & ORS18input: olv* setrgbcolor

D65: Koordinatensysteme; 5stufige Farbreihen für 10 Bunttöne output: Startup (S) data dependend

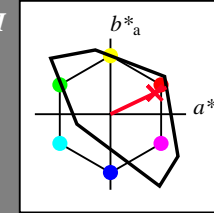
Ausgabe: Farbmétrisches Fernseh-Licht-System TLS18

für Buntton $h^* = lab^*h = 25/360 = 0.071$ LAB^*LCH, LAB^*NCH

D65: Buntton R

LCH*Ma: 54 82 25

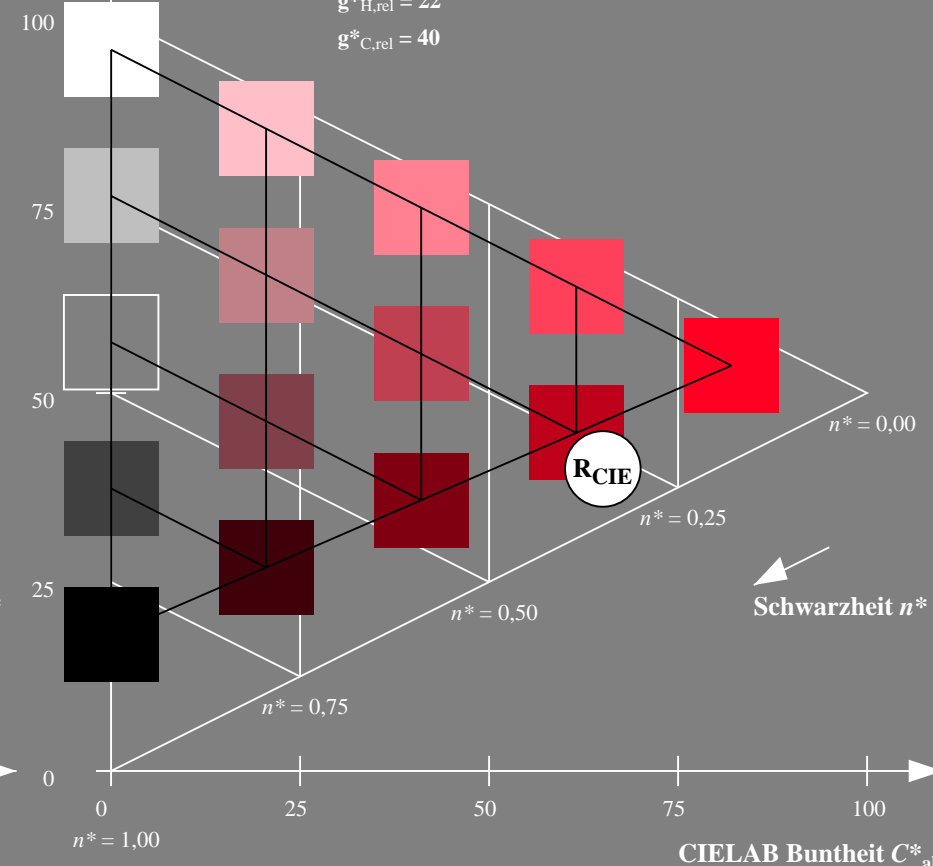
olv*Ma: 1.0 0.0 0.14

CIELAB-Helligkeit L^*

%Umfang

 $u^*_{rel} = 118$

%Regularität

 $g^*_{H,rel} = 22$ $g^*_{C,rel} = 40$ 

5 stufige Reihen für konstanten CIELAB Buntton 25/360 = 0.071 (rechts)

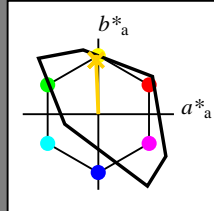
Eingabe: Farbmétrisches Fernseh-Licht-System TLS18

für Buntton $h^* = lab^*h = 92/360 = 0.256$ lab^*tch und lab^*nch

D65: Buntton J

LCH*Ma: 85 79 92

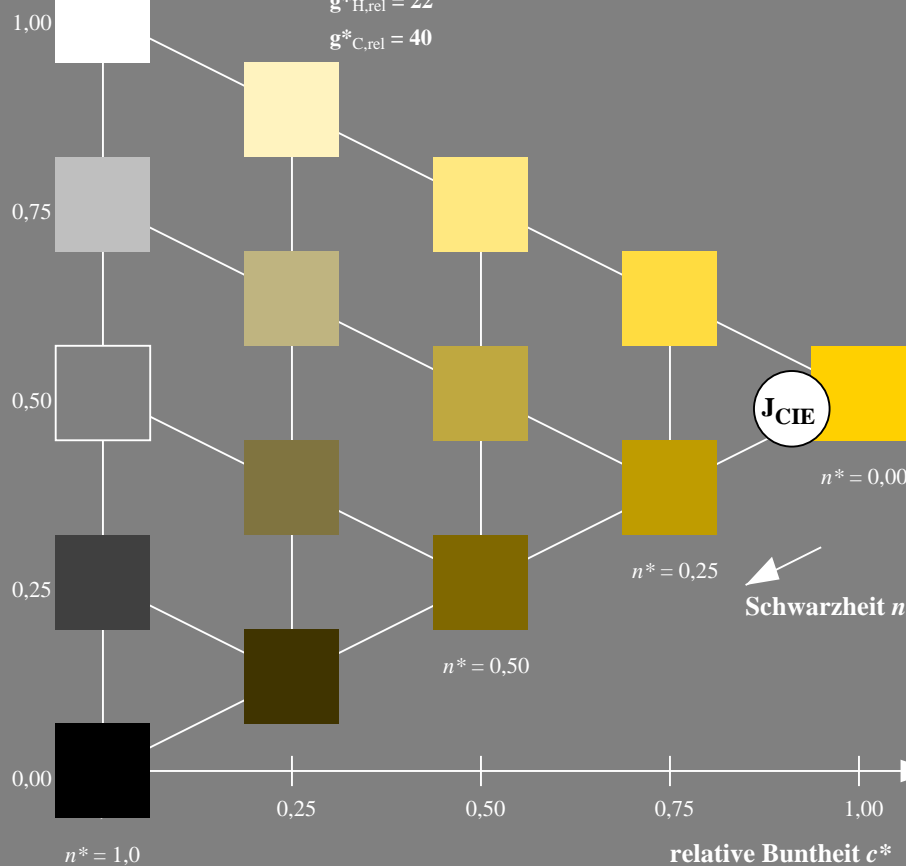
olv*Ma: 1.0 0.82 0.0

Dreiecks-Helligkeit t^* 

%Umfang

 $u^*_{rel} = 118$

%Regularität

 $g^*_{H,rel} = 22$ $g^*_{C,rel} = 40$ 

NG290-7, 5 stufige Reihen für konstanten CIELAB Buntton 92/360 = 0.256 (links)

BAM-Prüfvorlage NG29; Farbmétrik-Systeme ORS18 & ORS18input: olv* setrgbcolor

D65: Koordinatensysteme; 5stufige Farbreihen für 10 Bunttöne output: Startup (S) data dependend

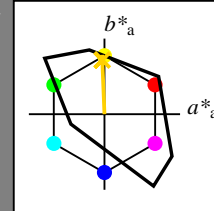
Ausgabe: Farbmétrisches Fernseh-Licht-System TLS18

für Buntton $h^* = lab^*h = 92/360 = 0.256$ LAB^*LCH , LAB^*NCH

D65: Buntton J

LCH*Ma: 85 79 92

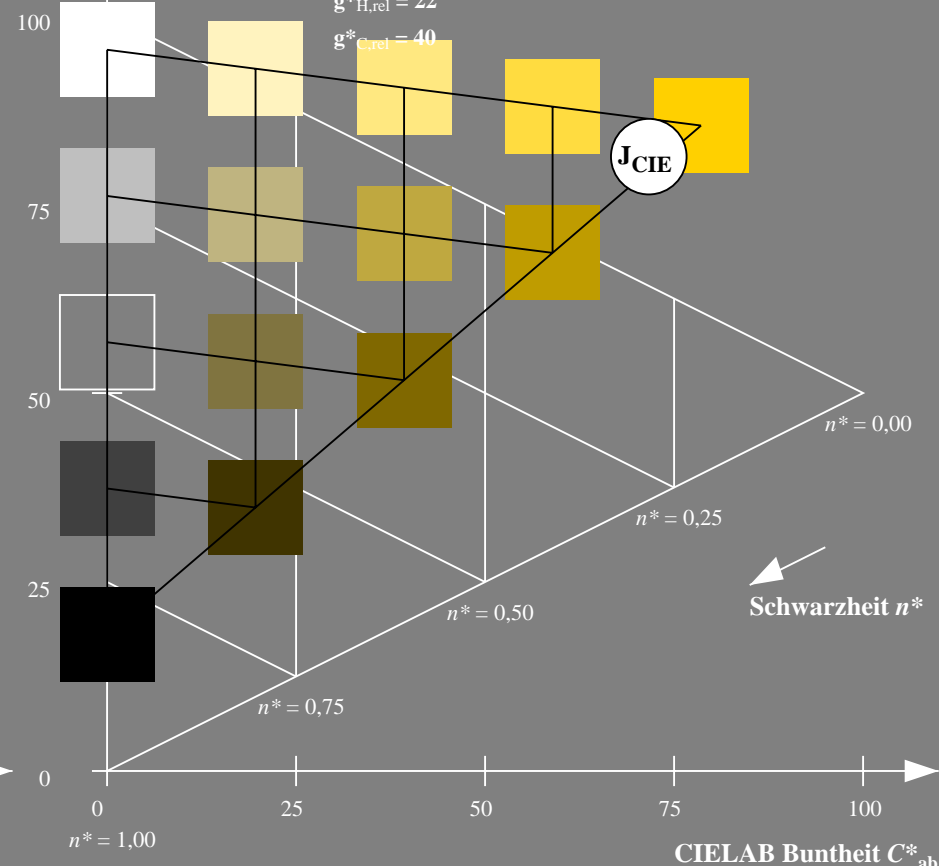
olv*Ma: 1.0 0.82 0.0

CIELAB-Helligkeit L^* 

%Umfang

 $u^*_{rel} = 118$

%Regularität

 $g^*_{H,rel} = 22$ $g^*_{C,rel} = 40$ 

5 stufige Reihen für konstanten CIELAB Buntton 92/360 = 0.256 (rechts)

Eingabe: Farbmétrisches Fernseh-Licht-System TLS18

für Buntton $h^* = lab \cdot h = 162/360 = 0.451$ $lab \cdot tch$ und $lab \cdot nch$

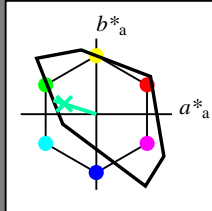
D65: Buntton G

LCH*Ma: 86 60 162

olv*Ma: 0.0 1.0 0.64

TLS18; adaptierte CIELAB-Daten

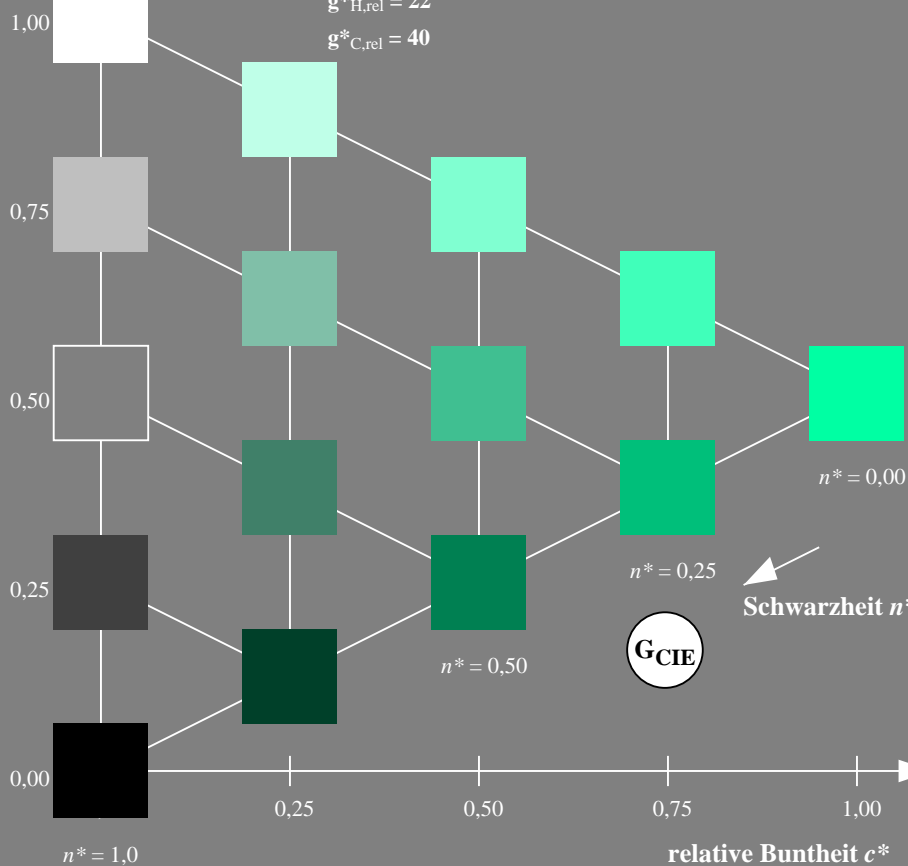
	$L^* = L^*_a$	a^*_a	b^*_a	$C^*_{ab,a}$	$h^*_{ab,a}$
O _m	52.76	71.63	49.88	87.29	35
Y _m	92.74	-20.02	84.97	87.3	103
L _m	84.0	-78.98	73.94	108.2	137
C _m	87.14	-44.41	-13.11	46.32	196
V _m	35.47	64.92	-95.06	115.12	304
M _m	59.01	89.33	-55.67	105.26	328
N _m	18.01	0.0	0.0	0.0	0
W _m	95.41	0.0	0.0	0.0	0
R _m	39.92	58.74	27.99	65.07	25
J _m	81.26	-2.88	71.56	71.62	92
G _m	52.23	-42.41	13.6	44.55	162
B _m	30.57	1.41	-46.46	46.49	272

Dreiecks-Helligkeit t^*

%Umfang

 $u^*_{rel} = 118$

%Regularität

 $g^*_{H,rel} = 22$ $g^*_{C,rel} = 40$ 

NG290-7, 5 stufige Reihen für konstanten CIELAB Buntton 162/360 = 0.451 (links)

BAM-Prüfvorlage NG29; Farbmétrik-Systeme ORS18 & ORS18input: olv* setrgbcolor

D65: Koordinatensysteme; 5stufige Farbreihen für 10 Bunttöne output: Startup (S) data dependend

Ausgabe: Farbmétrisches Fernseh-Licht-System TLS18

für Buntton $h^* = lab \cdot h = 162/360 = 0.451$ $LAB \cdot LCH$, $LAB \cdot NCH$

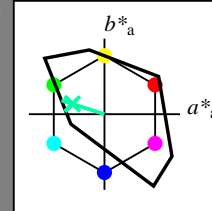
D65: Buntton G

LCH*Ma: 86 60 162

olv*Ma: 0.0 1.0 0.64

TLS18; adaptierte CIELAB-Daten

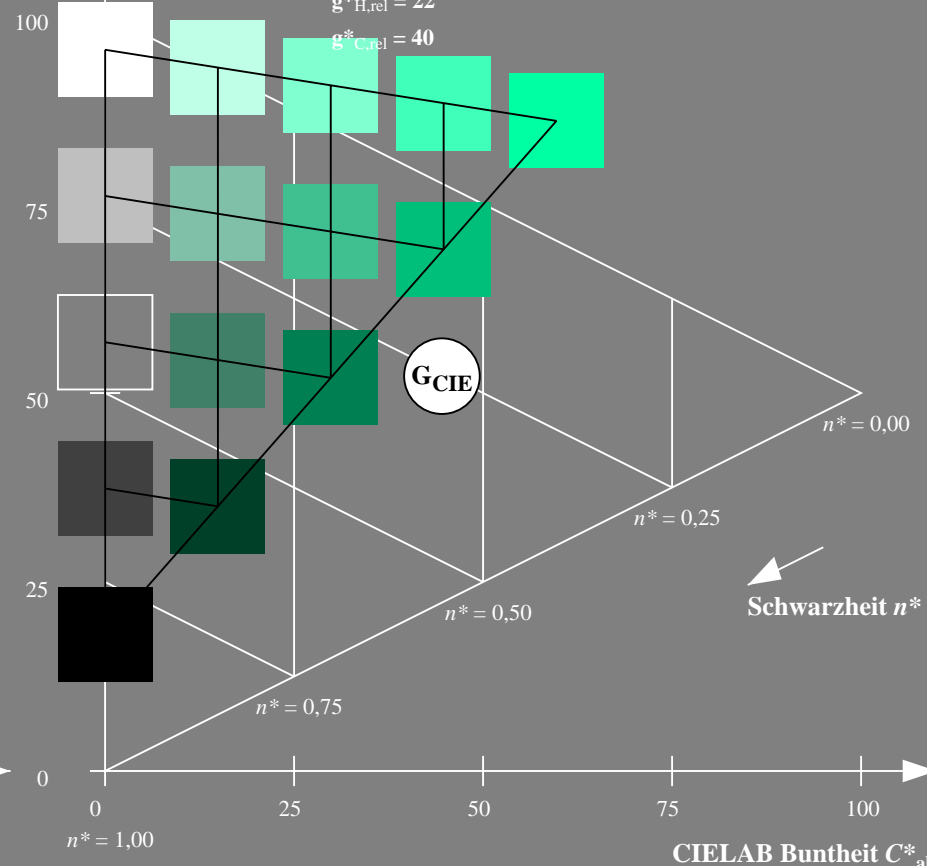
	$L^* = L^*_a$	a^*_a	b^*_a	$C^*_{ab,a}$	$h^*_{ab,a}$
O _m	52.76	71.63	49.88	87.29	35
Y _m	92.74	-20.02	84.97	87.3	103
L _m	84.0	-78.98	73.94	108.2	137
C _m	87.14	-44.41	-13.11	46.32	196
V _m	35.47	64.92	-95.06	115.12	304
M _m	59.01	89.33	-55.67	105.26	328
N _m	18.01	0.0	0.0	0.0	0
W _m	95.41	0.0	0.0	0.0	0
R _m	39.92	58.74	27.99	65.07	25
J _m	81.26	-2.88	71.56	71.62	92
G _m	52.23	-42.41	13.6	44.55	162
B _m	30.57	1.41	-46.46	46.49	272

CIELAB-Helligkeit L^*

%Umfang

 $u^*_{rel} = 118$

%Regularität

 $g^*_{H,rel} = 22$ $g^*_{C,rel} = 40$ 

5 stufige Reihen für konstanten CIELAB Buntton 162/360 = 0.451 (rechts)

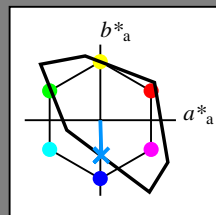
Eingabe: Farbmétrisches Fernseh-Licht-System TLS18

für Buntton $h^* = lab^*h = 272/360 = 0.755$ lab^*tch und lab^*nch

D65: Buntton B

LCH*Ma: 65 48 272

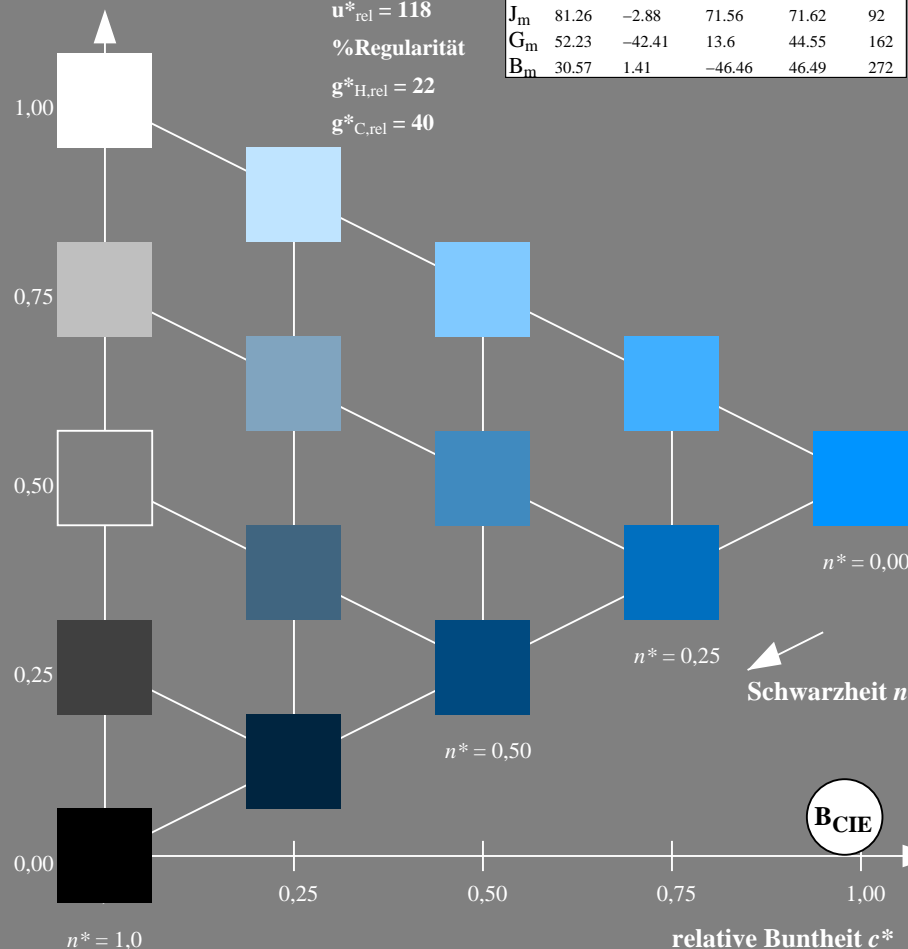
olv*Ma: 0.0 0.58 1.0

Dreiecks-Helligkeit t^* 

%Umfang

 $u^*_{rel} = 118$

%Regularität

 $g^*_{H,rel} = 22$ $g^*_{C,rel} = 40$ 

NG290-7, 5 stufige Reihen für konstanten CIE LAB Buntton 272/360 = 0.755 (links)

BAM-Prüfvorlage NG29; Farbmétrik-Systeme ORS18 & ORS18input: olv* setrgbcolor

D65: Koordinatensysteme; 5stufige Farbreihen für 10 Bunttöne output: Startup (S) data dependend

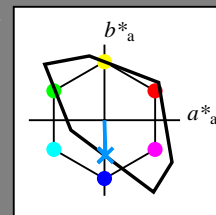
Ausgabe: Farbmétrisches Fernseh-Licht-System TLS18

für Buntton $h^* = lab^*h = 272/360 = 0.755$ LAB^*LCH, LAB^*NCH

D65: Buntton B

LCH*Ma: 65 48 272

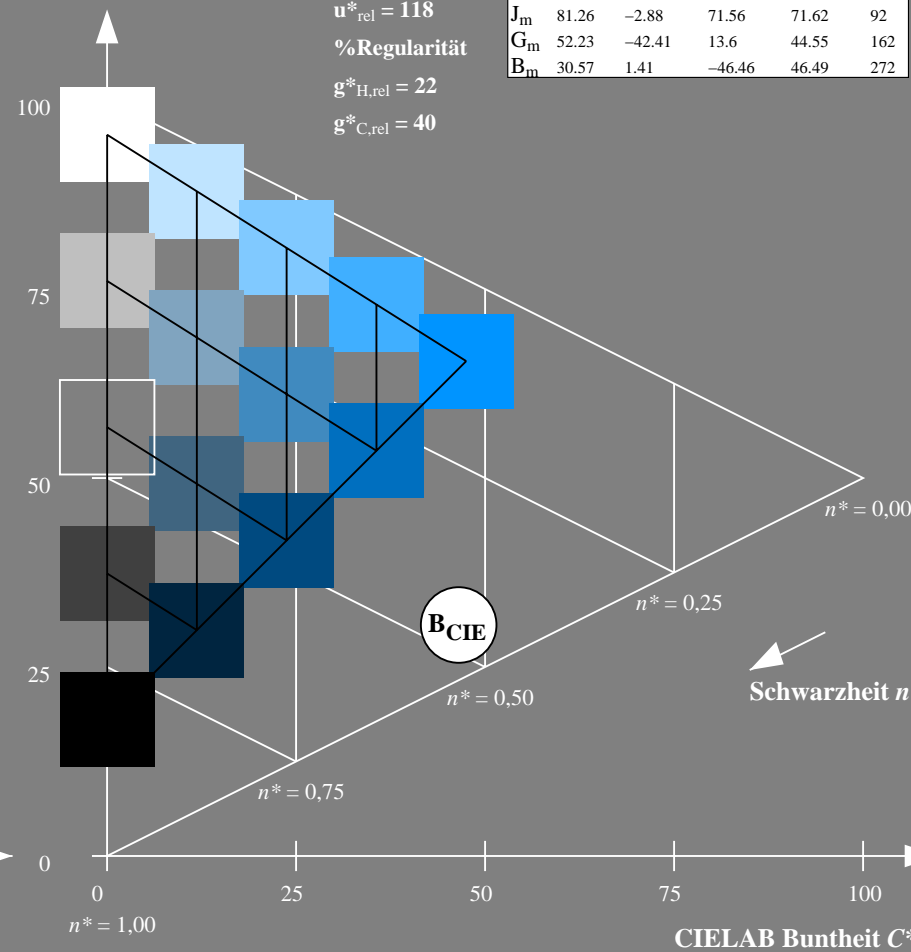
olv*Ma: 0.0 0.58 1.0

CIE LAB-Helligkeit L^* 

%Umfang

 $u^*_{rel} = 118$

%Regularität

 $g^*_{H,rel} = 22$ $g^*_{C,rel} = 40$ 

5 stufige Reihen für konstanten CIE LAB Buntton 272/360 = 0.755 (rechts)